

## 택사 (*Alismatis Rhizoma*)에서 분리한 Protostane계 화합물과 그 유도체의 FPTase 억제활성

이상명 · 권병목<sup>1</sup> · 민병선<sup>2\*</sup>

한국인삼공사 중앙연구원, <sup>1</sup>한국생명공학연구원, <sup>2</sup>대구가톨릭대학교 약학대학

## FPTase Inhibition Effect of Protostanes from *Alismatis Rhizoma* and Derivatives from Alisol B 23-acetate

Sang Myung Lee, Byoung Mog Kwon<sup>1</sup> and Byung Sun Min<sup>2\*</sup>

Korea Ginseng Corporation Central Research Institute, Daejeon 305-805, Korea

<sup>1</sup>Korea Research Institute of Bioscience & Biotechnology, Daejeon 305-606, Korea

<sup>2</sup>College of Pharmacy, Catholic University of Daegu, Gyeongbuk 712-702, Korea

**Abstract** – The purpose of this research is to study of inhibitory activity of protostane type triterpenes against farnesyl-protein transferase (FPTase). The ingredients of *Alismatis Rhizoma*, alisol B 23-acetate, C 23-acetate, alisols B and A 24-acetate, and thirteen synthetic analogues from alisol B 23-acetate exhibited inhibition activity against FPTase by scintillation proximity assay method. As a result, alisol C 23-acetate, one of the constituents of *Alismatis Rhizoma*, the synthetic analogues carboxylated and hydroxylated on branch chain of protostane exhibited a significant inhibitory activity. However, the compounds significantly lowered the inhibitory activity, when there is no 3 position keto on protostane skeleton.

**Key words** – *Alismatis Rhizoma*, Alisol, Farnesyl-protein transferase (FPTase)

대표적 이뇨 생약중의 하나인 택사 (*Alismatis Rhizoma*)는 택사 (*Alisma oriental* (G. Samuelsson) Juz, Alismataceae) 또는 기타 동속근연식물의 근경으로 겨울에 잎이 마른 다음에 채취하여 수염뿌리와 껍질을 제거하고 음건한 후 이를 대소로 나누어 물에 담가 수분이 스며들면 내외의 습기가 같아졌을 때 썰어서 말린 것 이다.<sup>1,2)</sup>

택사의 화학성분에 관한 연구로서 Murata 등은<sup>3,4)</sup> alisol A, B, A 24-acetate, B 24-acetate, C 23-acetate를 분리하였으며 Fukuyama 등<sup>5)</sup> 11-deoxyalisol, alisol D, 16  $\beta$ -hydroxyalisol B 23-acetate와 16  $\beta$ -methoxyalisol B 23-acetate를 분리하여 그의 화학적 구조를 밝힌 바 있다. Yoshikawa 등은<sup>6)</sup> 11-deoxyalisol B, 11-deoxyalisol B 23-acetate, alisol E 23-monoacetate, alisol F, G를 확인하였다. Zeng 등은<sup>7)</sup> 미량 물질로서 alizexol A를 *A. orientalis*에서 분리하였다. 이들 화합물은 protostane 계 화합물로서 choline성 acetyltransferase를 복구하는 작용이 발견되었으며<sup>8)</sup> 16-ketoalisol A는 간질환을 치료하는 것으로 알려져 있다.<sup>9)</sup> 또한 Lee 등은<sup>10)</sup> 택사의

벤젠 추출물이 L1210 암세포주에 대하여 ED<sub>50</sub> 13.8  $\mu$ g/ml의 세포독성을 가지는 것을 확인하여 택사 함유성분의 항암활성 가능성을 제시하였다.

천연물로부터 새로운 계열의 화합물 즉, 선도화합물을 찾으려는 연구는 선택적인 작용기전을 가진 항암화학요법제의 개발에 중요하게 인식되어 왔다. 천연물은 오랫동안 질병의 예방 및 치료에 사용되어 왔으므로 어떤 면에서는 실질적인 임상실험을 해왔다고 볼 수 있다. 우리는 선택적인 작용기전을 가진 항암활성 물질을 개발하기 위하여 mechanism-based bioassay방법으로서 farnesyl-protein transferase (FPTase) inhibition assay를 행하였다. FPTase는 세포의 증식과 분화를 조절하는 신호전달 과정에 관여하는 효소로서 farnesyl pyrophosphate의 farnesyl group을 ras (ras) 단백질에 전달하는 역할을 한다.<sup>11)</sup> 한편, ras 단백질은 성장조절인자를 통한 신호전달과정에서 가장 중요한 역할을 하는 단백질로서 ras proto oncogenes에 의해 발현되는데 이 ras gene (H, K, N-ras)은 다양한 사람의 종양에서 oncogenic gene으로서 처음 발견되었고 ras 단백질의 생물학적 활성이 췌장암 (90%), 폐암 (50%), 직장암 (50%), 갑상선암 (30%)에서 비

\*교신저자(E-mail): bsmmin@cu.ac.kr  
(Tel): +82-53-850-3613

정상적으로 mutation되어 있는 것으로 알려져 있다.<sup>12)</sup> 이에 따라 FPTase의 저해제 탐색을 통하여 힘입제를 개발하고자 하는 연구가 진행되고 있는데 지금까지 연구된 저해제 중 천연물에서 유래된 것으로 patulin,<sup>13)</sup> fusidienol,<sup>14)</sup> RPR113228,<sup>15)</sup> cylindrol A,<sup>16)</sup> SCH 58450,<sup>17)</sup> barceloneic acid A,<sup>18)</sup> actinoplanic A, B<sup>19)</sup> 등이 있다.

우리는 택사로부터 alisol B 24-acetate를 비롯한 4종의 화합물을 분리하고<sup>20)</sup> alisol B 24-acetate로부터 13종의 유기화학적 유도체를 합성하여 다양한 암세포주에 대하여 세포독성과 아울러 그의 활성-구조의 상관성을 밝힌 바 있다.<sup>21)</sup> 이 논문은 이들 화합물의 farnesyl-protein transferase에 대한 억제효과를 연구하기 위하여 scintillation proximity assay (SPA)를 수행하고 그 결과를 보고한다.

## 재료 및 방법

**시약** – FPTase 억제활성 실험에 사용한 Q-Sepharose는 Pharmacia Biotech (UK), Farnesyl transferase [<sup>3</sup>H]SPA enzyme assay kit는 Amersham (UK) 사에서 구입하였으며 그 외, Trisma base, EDTA, EGTA, Phenylmethylsulfonyl fluoride, Leupeptin, DTT는 Sigma-Aldrich (US)에서 구입하여 사용하였다.

**실험재료** – 본 실험에 사용된 4종의 alisol 계 화합물은 생약재 시장에서 판매하는 택사를 구입하여 크로마토그래피법으로 분리하여 alisol B 23-acetate (**1**), alisol C 23-acetate (**2**), alisol B (**3**), alisol A 24-acetate (**4**)을 <sup>1</sup>H, <sup>13</sup>C NMR 등의 정성적 기기분석법으로 확인하여 사용하였고<sup>20)</sup> 12종의 alisol 계 화합물의 유도체는 alisol B 24-acetate를 유기화학적으로 부분구조 변형하여 <sup>1</sup>H, <sup>13</sup>C NMR로 확인하여 사용하였다. 구조변형 된 화합물은 23S-acetoxy-11 $\beta$ , 24R,25-trihydroxyprotost-13(17)-en-3-one (**5**), 23S-acetoxy-24R,25-epoxy-3 $\alpha$ ,11 $\beta$ -dihydroxyprotost-13(17)-en-3-one (**6**), 23S-acetoxy-24R,25-epoxyprotost-11(12),13(17)-dien-3-one (**7**), 11 $\beta$ ,23S-diacetoxy-24R,25-epoxyprotost-13(17)-en-3-one (**8**), 23S-acetoxy-13(17),24R(25)-diepoxy-11 $\beta$ -hydroxyprotost-3-one (**9**), 13(17),24R(25)-diepoxy-11,23S-dihydroxyprotostan-3-one (**10**), 24R,25-epoxy-11 $\beta$ ,23S-dihydroxyprotost-13(17)-en-3-one (**11**), oxidation of E-4 with HIO<sub>4</sub> (**12**), 11 $\beta$ ,23S,24R,25-tetrahydroxyprotost-13(17)-en-3-one (**13**), oxidation of **13** with HIO<sub>4</sub> (**14**), oxidation of **14** with Tollen's reagent (**15**), 23S-acetoxy-24R(25)-epoxy-11 $\beta$ ,23S-dihydroxyprotost-13(17)-en-3-hydroxyimine (**16**)이다.<sup>21)</sup>

**발암유전자 FPTase 억제 활성 검사** – Scintillation Proximity Assay (SPA)방법에 의해 측정하였다. FPTase 활성은 Biotin-KKKSCKTCVIM (FPTase의 기질로서 Ki-ras C-terminal sequence)에 [<sup>3</sup>H] farnesyl pyrophosphate로부터

[<sup>3</sup>H]의 전이를 측정하여 결정하였다. 20  $\mu$ l의 farnesyl pyrophosphate, 20  $\mu$ l의 biotin lamin B peptide, 10  $\mu$ l 시료 용액 (in DMSO), 10  $\mu$ l의 완충용액 (50 mM Tris-HCl, pH 7.5, 25 mM MgCl<sub>2</sub>, 2 mM KCl, 5 mM Na<sub>2</sub>HPO<sub>4</sub>, 0.01% Triton X-100)을 넣고 3분 동안 정지한 후 40  $\mu$ l의 FPTase를 넣어주고 37°C에서 60분간 반응시킨다. 150  $\mu$ l의 STOP/bead 시약을 첨가하여 잘 섞어서 반응을 정지시킨 후 30분간 상온에서 방치시킨 후 1450 Microbeta Counter (Wallac, US) 방사능 측정기를 이용하여 다음의 방법으로 억제 정도를 측정하였다.

$$\% \text{ inhibition} = 100 \times 1 - \frac{\text{Sample (cpm)} - \text{Blank2 (cpm)}}{\text{Control (cpm)} - \text{Blank1 (cpm)}}$$

Blank 1: without sample and enzyme

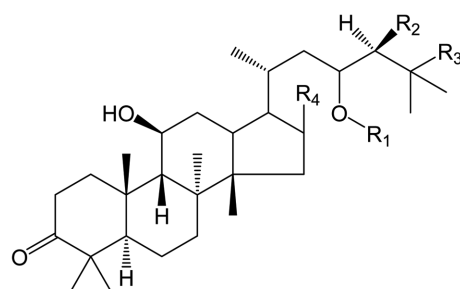
Blank 2: with sample and without enzyme

Control: without sample and with enzyme

대조약물로는 gliotoxin을 사용하였다.

## 결과 및 고찰

택사로부터 분리한 4종의 protostane계 화합물 (Fig. 1) alisol B 23-acetate (**1**), alisol C 23-acetate (**2**), alisol B (**3**), alisol A 24-acetate (**4**)에 대하여 발암관련 유전자 중의 하나인 FPTase에 대한 억제활성을 검사하였다. 아울러 protostane 화합물의 FPTase에 대한 구조 및 활성관계를 연구하기 위하여 12종의 alisol 유도체를 화합물 **1**로부터 유기화학적 방법으로 부분구조 변형하여 (Fig. 2) 그의 활성을 검사하였다.



	R <sub>1</sub>	R <sub>2</sub>	R <sub>3</sub>	R <sub>4</sub>
<b>1</b>	H	—O—		H
<b>2</b>	Ac	—O—		O
<b>3</b>	H	—O—		H
<b>4</b>	H	OAc	OH	H

Fig. 1. Chemical structures of protostane type triterpenoids from Alismatis Rhizoma.

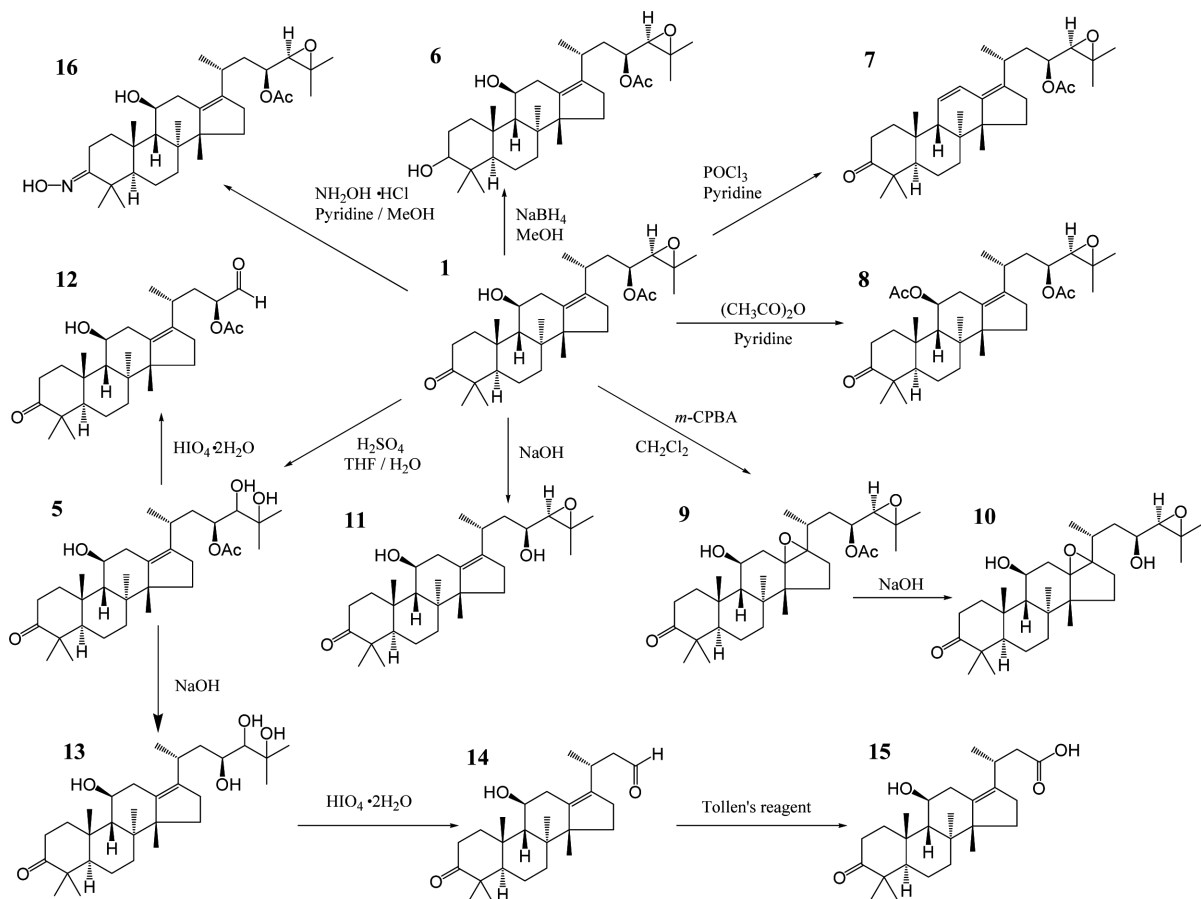


Fig. 2. Synthetic analogues from alisol B 23-acetate (1).

Table I. Farnesyl-protein transferase inhibition activities of each compound

<sup>a</sup> Comp.	Inhibition (%)	Comp.	Inhibition (%)
1	65	10	72
2	77	11	54
3	54	12	60
4	57	13	79
5	44	14	60
6	0	15	89
7	40	16	0
8	47		
9	34		
		<sup>b</sup> gliotoxin	50

<sup>a</sup>Each sample used 1 mg/ml. <sup>b</sup>Gliotoxin as positive control used 4.6  $\mu\text{g}/\text{ml}$

택사 힘유 protostane 계 화합물의 밸암관련 유전자 FPTase에 대한 억제활성을 화합물 2가 1 mg/ml의 농도에서 77%의 억제활성을 나타내며 활성이 가장 높았다. 택사에서 분리한 4종의 alisol 화합물들은 50% 이상의 FPTase 억제활성을 나타내었으며 특히 R<sub>4</sub>위치에 카르보닐기가 존재하는 경

우 (화합물 2) 활성이 다소 높아짐을 알 수 있었고 그 외 특이한 구조에 대한 활성의 상관성은 유추하기 힘들었다. 그런 이유로 protostane 계 화합물의 FPTase 억제활성을 증가된 화합물을 연구 하기 위하여 택사에 가장 다양으로 함유되어 있으며 FPTase 억제활성이 비교적 강한 화합물 1을 유기화학적 방법으로 구조 변형을 시도하여 12종의 화합물 1 유도체를 만들었다. 즉, protostane 골격의 측쇄의 에폭시환을 개환하여 수산기를 증대시키거나 (화합물 5, 13), 12, 16 번 위치의 이중결합을 에폭시화하여 에폭시환을 증대시키거나 (화합물 9, 10), 측쇄의 길이를 감소시키는 (화합물 12, 14, 15) 등의 구조변형을 행하여 그들의 FPTase에 대한 억제활성을 관찰하였다. 특이한 점은 다른 protostane 계 화합물보다 훨씬 강한 세포독성을<sup>21)</sup> 보였던 화합물 16의 FPTase에 대한 억제활성은 현저하게 낮아진다는 것이다. 이 화합물들은 protostane 골격의 3 번 위치에 존재하는 keto기 대신에 hydroxyimine이 치환된 화합물로서 3번 위치의 keto기가 억제활성에 중요한 영향을 미친다는 것을 유추 할 수 있다. 이 현상은 3번 위치의 keto기가 수산기로 환원될 경우에도 억제효과가 사라지는 것을 알 수 있다 (화합물 6). 측쇄의 에폭시환을 개환하여 diol 또는 triol을 형성하거나

**Table II.** IC<sub>50</sub> values of active compounds against farnesyl-protein transferase

<sup>a</sup> Comp.	<sup>b</sup> IC <sub>50</sub> (mg/ml)	IC <sub>50</sub> (mM)
E-4	0.5	0.97
S-6	0.4	1.02
S-9	0.4	0.81
S-11	0.2	0.48
gliotoxin	0.0046	0.014

<sup>a</sup>Each compound was examined wide five concentrations.

<sup>b</sup>IC<sub>50</sub> value represents the concentration that caused 50% inhibition of FPTase activity.

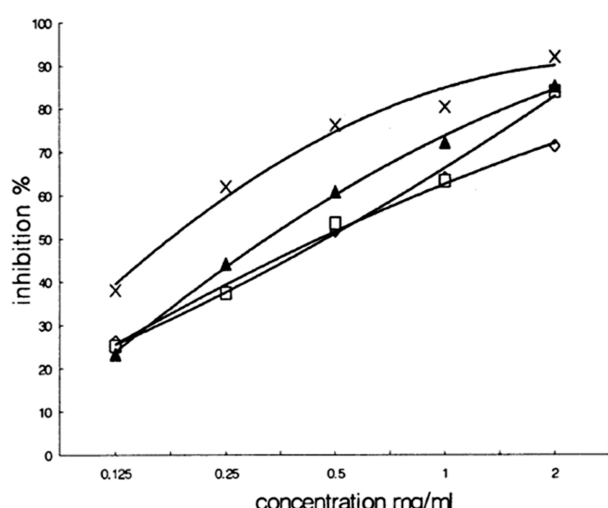


Fig. 3. Farnesyl-protein transferase activity curves of more active protostanes; ◇- : 1, □- : 10, ▲- : 13, -X- : 15

(화합물 5, 13) 13, 17위치의 이중결합에 에폭시환이 형성한 화합물 10의 억제활성은 다소 증대 되었으며 측쇄에 carboxylic acid가 도입된 화합물 15의 경우 억제활성이 크게 증가 됨을 알 수 있었다 (Fig. 2, Table I). 이들 화합물 중 억제활성도가 상대적으로 높은 4종의 화합물의 IC<sub>50</sub> 값을 측정하였다 (Table II). 각 화합물은 5개의 농도로 측정하였으며 대조약물로서 gliotoxin을 사용하였다. 각 화합물의 IC<sub>50</sub> 값은 대조약물보다 사용량에 있어서 낮은 수치를 나타내었으나 대조약물의 분자량에 의하여 그의 몰 농도의 비교에서는 높은 수치로 나타났다. 또한, 이들 화합물의 억제활성은 농도의존적으로 증가함을 그래프를 통하여 알 수 있었다 (Fig. 3).

## 결 론

택사로부터 분리한 4종의 alisol계 화합물과 alisol B 23-acetate로부터 구조변환된 13종의 화합물을 대상으로 farnesyl-

protein transferase (FPTase)에 대한 억제효과를 알아보기 위하여 scintillation proximity assay (SPA)를 실시하였다. 그 결과 택사로부터 분리한 4종의 화합물 중 alisol C 23-acetate 가 가장 강한 억제활성을 나타내었다. 13 종의 Alisol B 23-acetate 유도체에 대한 억제활성실험에서는 측쇄에 carboxylic acid가 도입된 화합물 15가 89.4% (1 mg/ml)로 나타났다. 또한 3번 위치에 keto기가 존재하지 않는 화합물 6, 16의 경우 억제활성이 사라지며 이 경우 13, 17위치에 에폭시환이 생성된 화합물 10의 경우 약간의 억제활성이 존재한다. 그리고 측쇄의 위치에 수산기가 도입되었을 때 억제활성이 증대함을 알 수 있다. 따라서 protostane계 화합물의 FPTase의 활성은 3번 위치의 keto기의 존재가 필수적이며 측쇄에 카르복실산이 도입되거나 수산기가 도입된 화합물일 경우 그의 억제활성이 증대된다는 것을 유추 할 수 있다.

## 사 사

이 논문은 2009년도 정부재원(교육과학기술부 기초연구 사업 중견연구자지원사업 핵심연구지원사업비)으로 한국연구재단의 지원을 받아 연구되었음(NRF-2009-0084675).

## 인용문헌

- 생약학교재편찬위원회, 생약학 (2006) 1:283, 동명사, 서울.
- 정보섭, 신민교, 도해향약(생약)대사전 (1990) 1:269, 영림사, 서울.
- Murata, T., Shinohara, M. and Miyamoto, M. (1970) Biological-active triterpenes of *Alismatis Rhizoma*. I. Isolation of the alisol. *Chem. Pharm. Bull.* **18**: 1347-1353.
- Murata, T., Shinohara, M. and Miyamoto, M. (1970) Biological active triterpenes of *Alismatis Rhizoma*. I. Isolation of the alisol. *Chem. Pharm. Bull.* **18**: 1369-1384.
- Fukuyama, Y., Geng, P., Wang, R., Yamada, Y. and Nakagawa, K. (1988) 11-deoxy alisol C and alisol D: New protostane-type triterpenoids from *Alisma plantago-aquatica*. *Planta Med.* **54**: 445-447.
- Yoshikawa, M., Hatakeyama, S., Tanaka, N., Matsuoka, T., Yamahara, J. and Murakami, N. (1993) Crude drugs from aquatic plants. II. On the constituents of the rhizome of *A. orientale* juzep. *Chem. Pharm. Bull.* **41**: 2109-2112.
- Zeng, L., Pen, X. and Ru, Y. (1995) Alizexol A, a novel protostane type of triterpen from *Alisma oriental* (SAM) juzep, *Chin. Chim. Lett.* **6**: 675-678.
- Yamada, S., Yamaguchi, T., Naito T. and Hashimoto, K. (1995) New alisol, and cerebral function-improving agent containing alisol compound as active ingredient. *Japanese Patent*. JP07173188.
- Kimura, H., Ogata, T. and Sato, Y. (1992) Therapeutic agent of hepatic disease containing alismol-relating compound as

- active ingredient. *Japans Patent*. JP04077420.
10. Lee, J. H., Kang, K. S. and Ahn, B. J. (1986) Cytotoxic screening of oriental drugs and folklores against L1210 cells. *K. J. Pharmacon.* **17**: 286-291.
  11. Pomplino, D. L., Rands, E., Schaber, M. D., Mosser, S. D., Anthony, N. J. and Gibbs, J. B. (1992) Steady-state kinetic mechanism of Ras farnesyl-protein transferase. *Biochem.* **31**: 3800-3807.
  12. Lowy, D. R. and Willumsen, B. M. (1993) Function and regulation of RAS. *Ann Rev. Biochem.* **62**: 851-891.
  13. Miura, S., Hasumi, K. and Endo, A. (1993) Inhibition of protein prenylation by patulin. *FEBS Letter* **318**: 88-90.
  14. Singh, S. B., Jones, E. T., Goetz, M. A., Bills, G. F. and Nallin, M. (1994) Fusidinol: A novel inhibitor of ras farnesyl-protein transferase from *fusidium griseum*. *Tetrahedron Lett.* **35**: 4693-4696.
  15. Van der Pyl, D., Cans P., Debernard, J. J., Herman, F., Lelievre, Y., Tahraoui, L., Vuilhorgne, M. and Leboul, J. (1995) RPR113228, a novel farnesyl-protein transferase inhibitor produced by *Chrysosporium lobatum*. *J. Antibiot.* **48**: 736-737.
  16. Singh, S. B., Zink, D. L., Bills, G. F., Jenkins, R. G., Silverman, K. C. and Lingham R. B. (1995) Cylindrol A: a Novel inhibitor of ras farnesyl-protein transferase from *Cylindrocarpon lucidum*. *Tetrahedron Lett.* **36**: 4935-4938.
  17. David, W. P., Robert, W. P., Raymond, L. B., Raymond, Y., Mohindar, S. P., Mahesh, P. W., Robert, B. and Stephen J. C. (1995) SCH 58450, a novel farnesyl protein transferase inhibitor possessing a 6a, 12a:7,12-diepoxybenz[a]anthracene ring system. *Tetrahedron Lett.* **36**: 6995-6998.
  18. Jayasuriya, H., Ball, R. G., Zink, D. L., Smith, J. L., Goetz, M. A., Jenkins, R. G., Nallin-Omstead, M., Silverman, K. C., Bills, G. F. and Lingham, R. B. (1995) Barceloneic acid A, a new farnesyl-protein transferase inhibitor from a Phoma species. *J. Nat. Prod.* **58**: 986-991.
  19. Silverman, K. C., Cascales, C., Genilloud, O., Sigmund, J. M., Gartner, S. E., Koch, G. E., Gagliardi M. M., Heimbuch, B. K., Nallin-Omstead , M., Sanchez, M., Diez, M. T., Martin, I., Garrity, G. M., Hirsch, C. F., Gibbs, J. B., Singh, S. B. and Lingham, R. B. (1995) Actinoplanic acids A and B as novel inhibitors of farnesyl-protein transferase. *Appl. Microbiol. Biotech.*, **43**: 610-616.
  20. Lee, S. M., Kho, Y. H., Min, B. S., Kim, J. H., Na, M. K., Kang, S. J., Maeng, H. Y. and Bae, K. H. (2001) Cytotoxic triterpenoides from Alismatis Rhizoma. *Arch. Pharm. Res.* **24**: 524-526.
  21. Lee, S. M., Min, B. S. and Bae, K. H. (2002) Chemical modification of alisol B 23-acetate and their cytotoxic activity. *Arch. Pharm. Res.* **25**: 608-612.

(2011. 6. 17 접수; 2011. 8. 11 심사; 2011. 8. 11 게재확정)